

哈师大附中 2021 级高三第二次调研考试

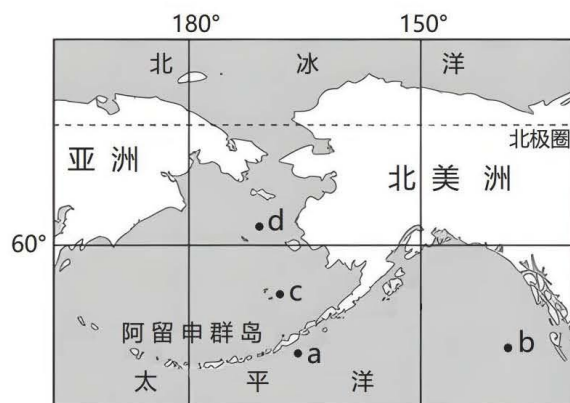
地理试题

考试时间：75 分钟 满分：100 分

第一部分选择题（共 50 分）

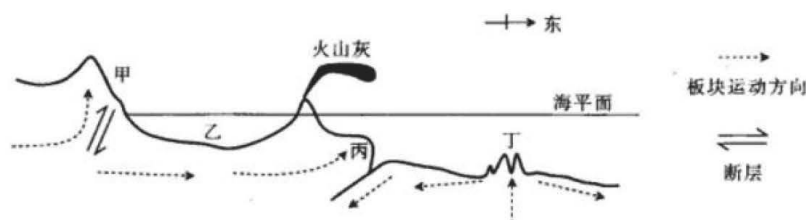
一、单项选择题（本题共 35 小题，1—20，每小题 1 分，21—35，每小题 2 分，共 50 分。每小题给出的四个选项中，只有一项符合题目要求）

图世界局部图。读图，完成下面小题。



- 阿留申群岛与日本群岛成因相似，下列与之相伴的宏观地形是（ ）
A. 海岭 B. 海沟 C. 裂谷 D. 珊瑚岛
- 下列四地中海水深度最大的是（ ）
A. a B. b C. c D. d

红宝石是在高温高压环境中，岩浆侵入大理石（由石灰岩变质形成）内部，经过长时间复杂置换作用而成的。下图是某地区地质剖面示意图，图示火山灰状态为常年扩散方向。读图，完成下面小题。



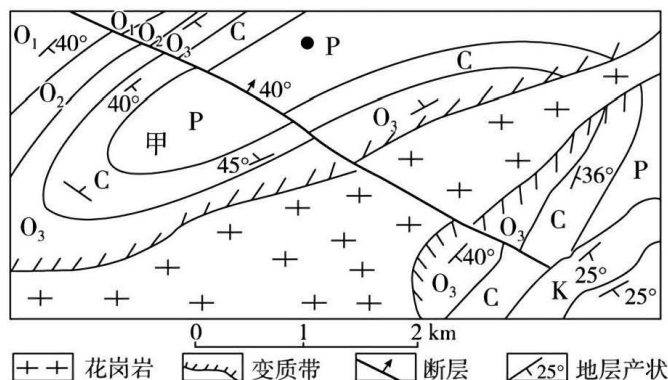
- 图中甲、乙、丙三地最可能位于（ ）
A. 亚洲东部 B. 北美洲西部 C. 欧洲西部 D. 大洋洲东部
- 红宝石形成的地质过程为（ ）
A. 变质作用—沉积作用—岩浆侵入—置换作用 B. 岩浆侵入—变质作用—沉积作用—置换作用

C. 沉积作用—变质作用—岩浆侵入—置换作用 D. 置换作用—变质作用—岩浆侵入—沉积作用

5. 下列地点中较易找到红宝石和大理石的是 ()

- A. 甲处 B. 乙处 C. 丙处 D. 丁处

读我国某地区地质构造图(图中字母为地质年代, 地层由早到晚依次为 O、C、P、K, 地层产状的短线为坡面倾斜方向, 坡度为倾斜角度; 褶皱中背斜的核部地层最老, 向斜的核部地层最新)。据此完成下面小题。



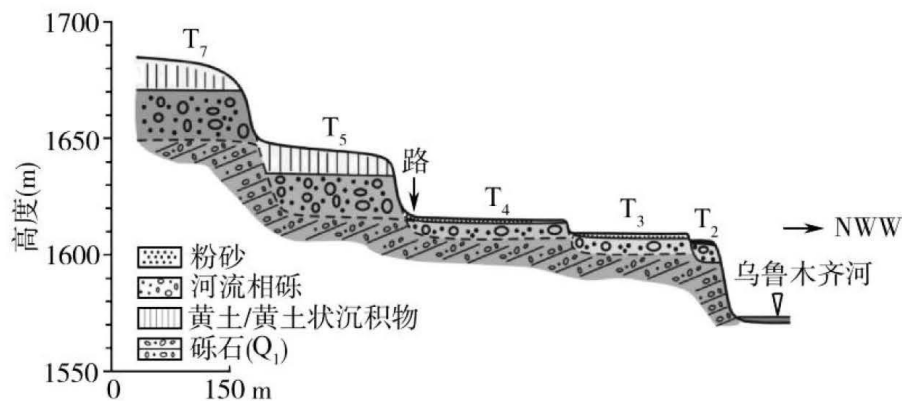
6. 图示甲区域 ()

- A. 为背斜, O₃ 为核部 B. 为向斜, P 为核部 C. 为背斜, P 为核部 D. 为向斜, O₃ 为核部

7. 图示地质活动 ()

- A. 变质带形成于断层活动之后 B. 岩浆活动形成于断层之后
 C. 断层活动形成于 P 后 K 前 D. 造成花岗岩分布区被侵蚀成河谷

乌鲁木齐河发源于天山主脉某冰川, 某河段因河流下切侵蚀山前冲积扇从而在河流东西两岸发育了多级河流阶地。下图示意该河段地质构造剖面及阶地分布。读图, 完成下面小题。



8. 与阶地 T₂ 相比, 阶地 T₄ ()

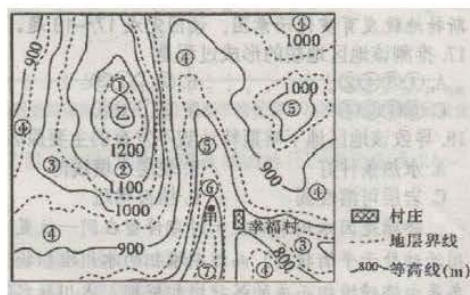
- ①形成年代更晚②形成时地壳稳定时间更长
 ③地表沟壑更多④形成时地壳抬升时间更长

- A. ①② B. ①④ C. ②③ D. ③④

9. T5、T7 处阶地面上的黄土或黄土状沉积物可能来自于 ()

- A. 基岩风化 B. 山地崩塌 C. 流水沉积 D. 风力堆积

下图为我国某区域等高线和地层分布示意图，图中①~⑦为岩层编号，其年代由新到老。读图完成下面小题。



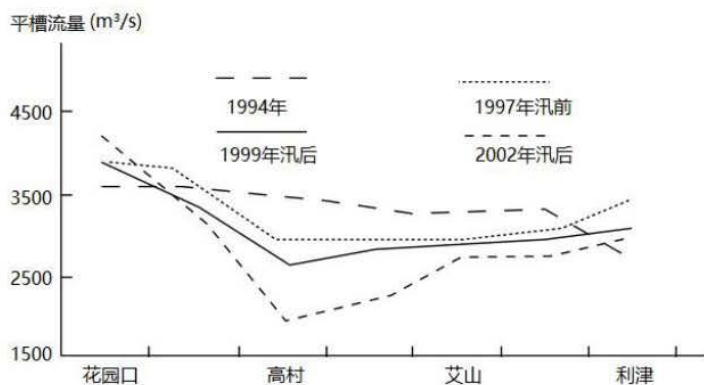
10. 甲处地貌类型为 ()

- A. 背斜谷 B. 背斜山 C. 断块山 D. 向斜谷

11. 导致甲、乙两处海拔差异的直接成因是 ()

- A. 地层褶皱 B. 岩层断裂 C. 外力侵蚀 D. 地壳运动

平槽流量是河槽（又称河床）在水位与滩面齐平情况下的过流能力，能综合反映河流主槽的形态和大小。河床的“驼峰”河段（指因冲淤作用导致某处河床高于其上下游河段的河床），会使水流和泥沙沉积发生改变。下图为黄河下游典型年份依次从花园口到利津四个观测点河流平槽流量曲线图。完成下面小题。



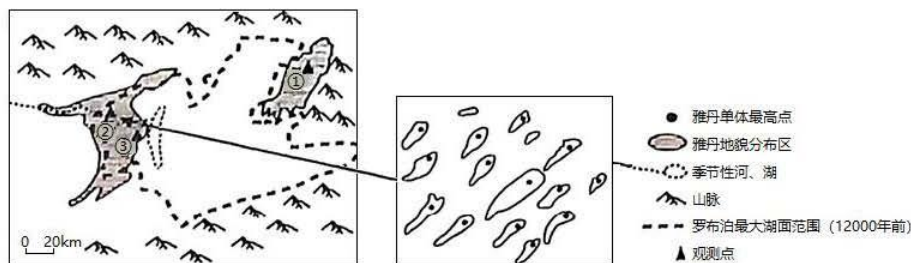
12. 四个观测点所在河段中最早形成“驼峰”河段的是 ()

- A. 花园口 B. 高村 C. 艾山 D. 利津

13. “驼峰”河段对两岸构成严重威胁，其中最主要的威胁来自 ()

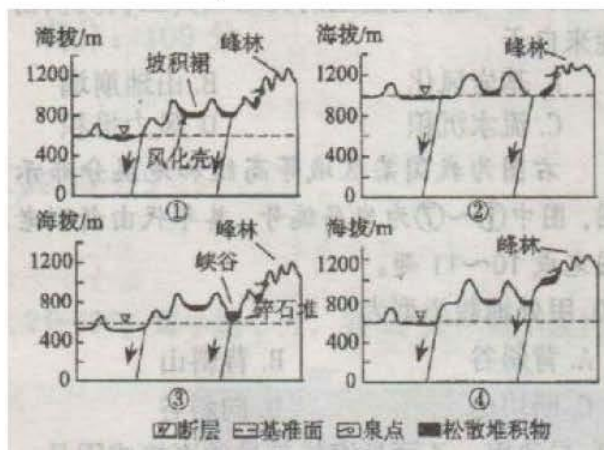
- A. 河道淤积，排洪能力降低 B. 河道弯曲，排洪能力降低
C. 流速加快，加剧两岸的冲刷 D. 流速减慢，导致河流改道

雅丹地貌是发育于干旱和半干旱地区的沉积岩或沉积物上的风蚀地貌。左图示意新疆罗布泊地区雅丹地貌分布，右图示意②观测点雅丹地貌的空间形态及分布。据此完成下面小题。



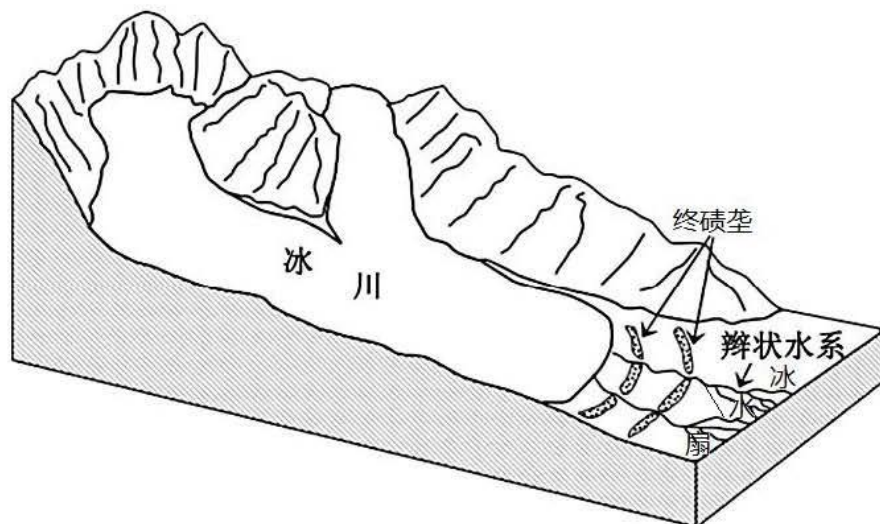
14. 推测该地区的主导风向是 ()
- A. 西北风 B. 东北风 C. 东南风 D. 西南风
15. 左图中①、②、③三个观测点开始发育雅丹地貌的先后顺序是 ()
- A. ①②③ B. ①③② C. ②①③ D. ③②①
16. 研究发现，河流在罗布泊②地雅丹地貌形成过程中有较大影响，其影响包括 ()
- A. 河流堆积扩大雅丹总体面积 B. 河流堆积减小雅丹相对高度
- C. 河流侵蚀削低雅丹单体顶部 D. 河流侵蚀拓宽雅丹单体范围

施秉喀斯特地貌区位于贵州省东部的施秉县北部，该区域内没有大型的溶洞，地下喀斯特地貌也不发育，仅在陡崖上分布有一些岩屋和直径小于1米的溶蚀小洞。该区域森林覆盖率达94%。下图为施秉喀斯特地貌发育演化示意图，读图完成下面小题。



17. 推测该地区地貌的形成过程是 ()
- A. ①③④② B. ②④①③ C. ③①②④ D. ②①④③
18. 导致该地区地下喀斯特地貌不发育的主要原因是 ()
- A. 水热条件好 B. 表层土壤浅薄 C. 岩层可溶性弱 D. 植被稀疏

终碛是因冰川末端较长时间停留在同一位置（即冰川活动处于平衡状态）而逐渐堆积起来的冰川堆积物，终碛是由终碛堆积而成的弧状堆积堤坝。冰川融水流出冰川末端或切过终碛壅后，地势展宽、变缓，冰水分散为没有固定河床的细小股流，形成辫状水系。冰水挟带大量碎屑物质堆积成扇形堆积体被称为冰水扇。图为我国西北某地山岳冰川地貌示意图，据此完成下面小题。



19. 关于山岳冰川终碛壅的叙述，正确的是（ ）

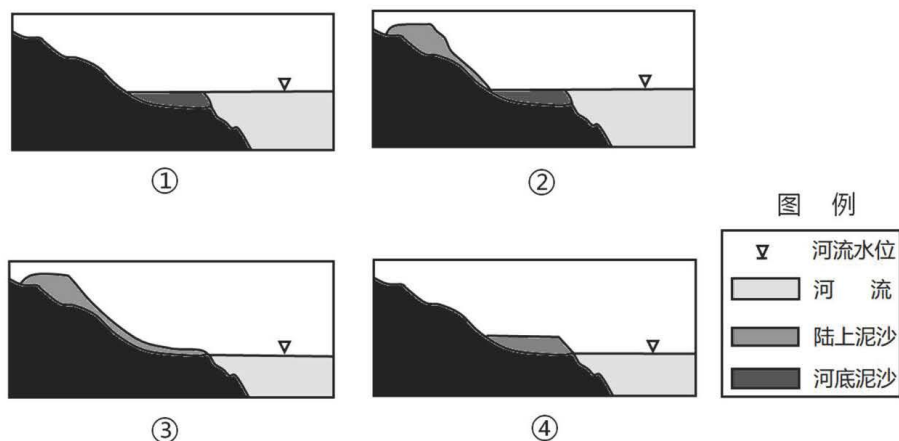
- A. 弧形延伸，中间部位向高处凸出
B. 一般迎冰侧较缓，背冰侧较陡
C. 冰川后退时不能形成终碛壅
D. 一般分布在高山冰川带

20. 冰川融水流出冰川末端或切过终碛壅后形成辫状水系，主要原因是（ ）

①地势比较陡峭②谷地比较宽阔③冰川消融具有季节性④冰川整体消融量较小

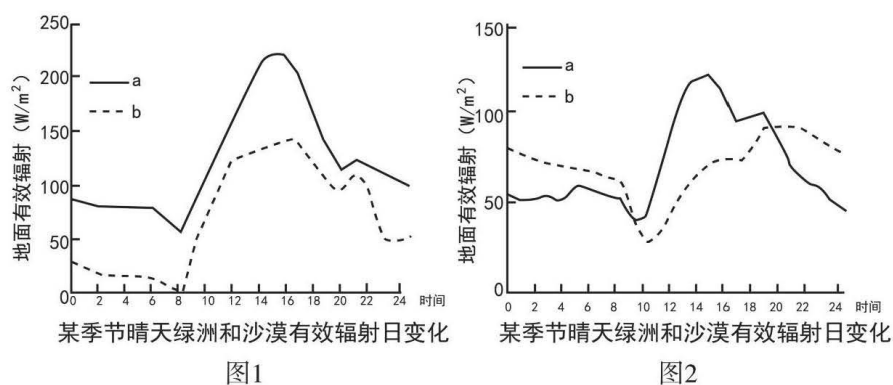
- A. ①③
B. ①④
C. ②③
D. ②④

沙丘是由外力作用从物源区分选出砂粒沉积物而积累的堆积床面。位于雅鲁藏布江中下游的西藏米林县年降水量约 640 毫米，且集中在 6—9 月，冬春季多大风。该地河岸附近分布着的规模较大的沙丘，沿岸交通干线经常受到流沙的袭扰。下图示意该地不同时间段某沙丘的纵向剖面图，据此完成下面小题。



21. 推测河漫滩沙丘出露面积最大的月份是 ()
- A. 3—5月 B. 6—8月 C. 9—11月 D. 12—2月
22. 不同位置处的砂砾粒度分布基本一致, 判断图示沙丘发育阶段依次是 ()
- A. ③①②④ B. ①④③② C. ②③①④ D. ④②①③
23. 为了减小沙害对周边基础设施的影响, 当地应当采取 ()
- ①在河流枯水期水位线附近设阻沙林带 ②在河流丰水期水位线附近设阻沙林带
③设置垂直于当地主导风向的阻沙栅栏 ④设置平行于当地主导风向的阻沙栅栏
- A. ①③ B. ①④ C. ②③ D. ②④

地面有效辐射(地面向上的长波辐射与大气向下的长波逆辐射之差)表示地面净损失的长波辐射, 其值越大, 地面损失的热量越多。通常情况下, 地面温度高于大气温度, 地面有效辐射为正值。下图为一科 研小组利用设备记录的某地夏、冬季节某日晴天两种不同下垫面的地面有效辐射日变化情况图, a、b 代表 沙漠或绿洲地区。据此完成下面小题。



24. 下列表述正确的是 ()

- A. 图1表示夏季, a线代表绿洲
B. 图2表示冬季, a线代表绿洲
C. 图1表示夏季, b线代表绿洲
D. 图2表示夏季, b线代表绿洲

25. 图1中该日8时()

- A. 沙漠区大气层结构稳定
B. 沙漠区大气对流运动最旺盛
C. 绿洲区大气层结构稳定
D. 绿洲区大气对流运动最旺盛

26. 若某地某一天地面有效辐射出现负值, 则该地当天可能()

①出现强逆温天气②空气洁净度高③空气湿度大④夜间晴朗风大

- A. ①②
B. ①③
C. ②④
D. ③④

雨幡洞云是一种奇特的天气现象(下图), 薄薄的云层出现一个空洞, 一缕缕“云丝”似乎从洞中心部分落下, 犹如“空中水母”。专家解释, 这是由于大气层中存在低于 0°C 而仍然保持液态的过冷液滴, 受飞机飞行产生扰动而产生云洞, 据此完成下面小题。



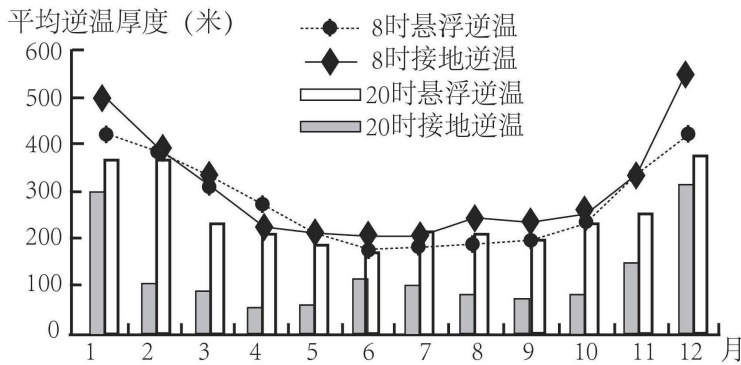
27. 雨幡洞云位于大气垂直分层中的()

- A. 平流层
B. 对流层
C. 中间层
D. 高层大气

28. 发生雨幡洞云的云层温度较低, 是由于()

- A. 距离太阳较远
B. 距离地面较远
C. 距臭氧层较远
D. 距电离层较远

逆温是指对流层大气中气温随高度增加而上升的现象, 从地面开始的逆温称为接地逆温, 从离地面一定高度处开始的逆温称为悬空逆温。逆温厚度是指出现逆温现象上、下限的高度差。下图反映甘肃省酒泉市2009~2018年8时和20时平均逆温厚度的年内变化。据此完成下面小题。



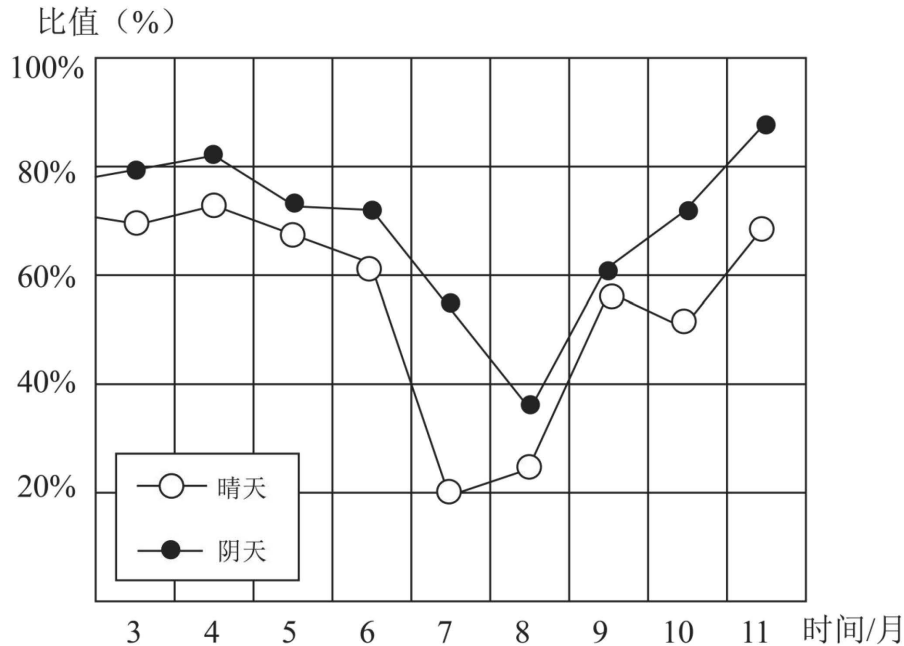
29. 8时接地逆温厚度比20时接地逆温厚度大, 原因是8时 ()

- A. 地面温度较低
- B. 大气的对流较强
- C. 太阳辐射较弱
- D. 大气逆辐射较强

30. 影响夏季与冬季逆温厚度差异的主要因素是 ()

- A. 风速
- B. 昼夜长短
- C. 降水
- D. 气温日较差

下图示意不同天气条件下, 祁连山某冰川区地面反射的太阳短波辐射量与到达地面的太阳短波辐射量的比值变化。据此完成下面小题。



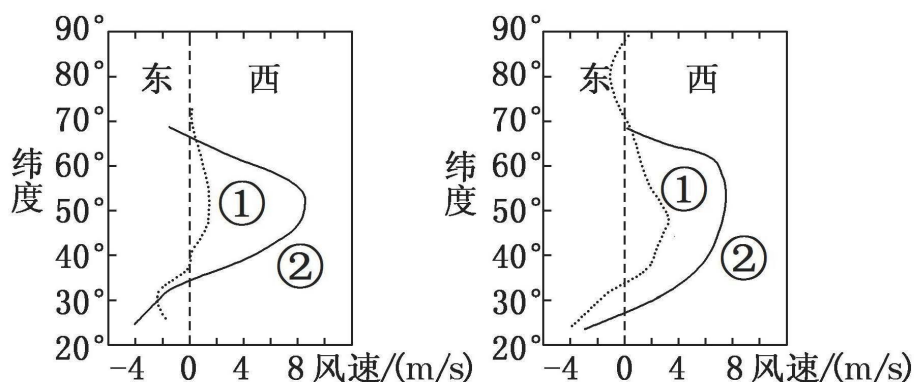
31. 该比值7、8月最低的根本原因是 ()

- A. 太阳高度大, 日照时间长
- B. 降水量大, 云层厚度较大
- C. 气温较高, 植被覆盖率高
- D. 风力强劲, 积雪不易保留

32. 随着气候变暖, 该比值的变化趋势是 ()

- A. 阴天增大, 晴天减小
B. 阴天和晴天都增大
C. 阴天减小, 晴天增大
D. 阴天和晴天都减小

地球上中纬度大陆西岸盛行西风环流。读“大陆西岸1月、7月西风风速分布图”(下图), 据此完成下面小题。



33. 据图判断, 下列选项正确的是 ()

- A. 左图, 1月; ①为南半球
B. 左图, 7月; ②为北半球
C. 右图, 1月; ①为北半球
D. 右图, 7月; ②为南半球

34. 造成南北半球在 50° 地区西风风速差异的主要原因是 ()

- A. 海陆性质 B. 海陆分布 C. 海陆位置 D. 海陆轮廓

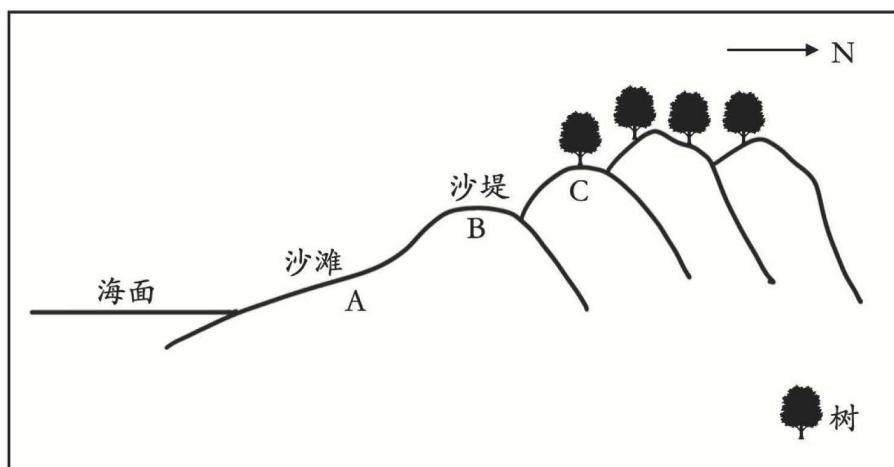
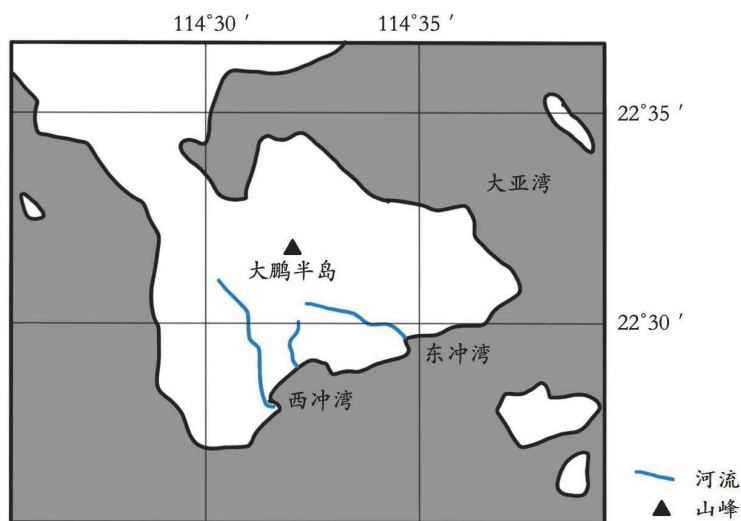
35. 造成①(某半球) 西风风速在 50° 地区冬夏季存在差异的主要原因是 ()

- A. 气温 B. 降水 C. 洋流 D. 地形

二、综合探究题(本题共3小题, 共50分)

36. 阅读图文材料, 完成下列要求。

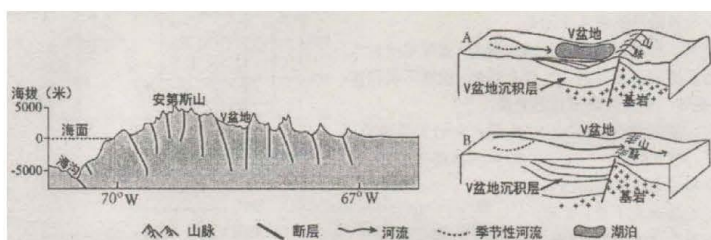
位于深圳市东南部的大鹏半岛(下左图)海岸地貌类型齐全。2020年7月, 在海岸地貌学专家的指导下, 某中学地理研学小组来到大鹏半岛南部的西冲湾开展考察活动。同学们发现这里沙滩的沙粒大小不一, 于是分别在沙滩A、B、C处取样, 对沙粒进行观察。右图为同学们根据取样位置绘制的剖面图。



- (1) 推测西冲湾沙滩沙粒的可能来源。
- (2) 研学小组观察发现 A 处沙粒较 B 处细，请说明其形成过程。
- (3) 说明 C 处形成沙丘而没有形成沙堤的原因。

37. 阅读材料，回答下列要求。

受造山挤压作用，在安第斯山古老大陆边缘一侧形成 V 盆地。距今 1100 万至 500 万年前，V 盆地发生了两次巨大的湖泊沉积，沉积层厚度达 700 多米。湖泊沉积过程主要受控于地质构造、基岩岩性、湖泊水系和气候环境的演变。左图为安第斯山沿 28°S 地形剖面图，右图为 V 盆地从 A 时期到 B 时期演变过程的局部示意图。

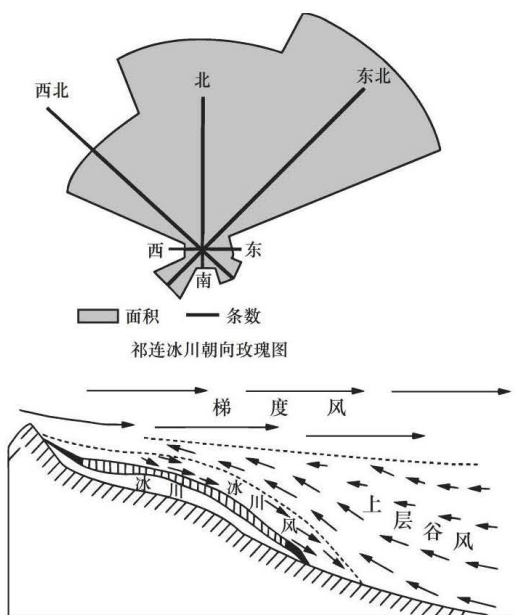


- (1) 从内力作用的角度，描述 V 盆地的形成过程。
- (2) 安第斯山区成为 V 盆地沉积物的主要来源区，分析其有利的物质和动力条件。
- (3) 说明 V 盆地从 A 时期到 B 时期演变过程对湖泊特征产生的影响。

38. 阅读图文材料，回答下列问题。

材料一祁连山脉位于我国青海省东北部与甘肃省西部边境，由多条西北—东南走向的平行山脉和宽谷组成，海拔 4500 米以上的山峰多发育有现代冰川，近百年来，冰川处于退缩阶段。左图为祁连山冰川朝向玫瑰图（离中心点越远，数值越大）。

材料二冰川风是指冰川表面较稳定而下沉的冷却气流沿冰面向冰川前方运动，迫使冰缘地区较暖的空气上升而产生对流交换，形成由冰川表面向冰缘地带吹送的风。它的形成主要是由于冰雪面气温往往低于同高度山谷气温。近年来，祁连山地区的冰川风变化显著。右图为冰川风形成示意图。



- (1) 推测祁连山地区南坡和北坡冰川风风势大小，并说明理由。
- (2) 从对山谷风风力大小和影响时间角度，分析冰川风对当地山谷风的影响。
- (3) 推测祁连山冰川风近年来的变化，并分析原因。

关于我们

自主选拔在线是致力于提供新高考生涯规划、强基计划、综合评价、三位一体、学科竞赛等政策资讯的升学服务平台。总部坐落于北京，旗下拥有网站（[网址: www.zizzs.com](http://www.zizzs.com)）和微信公众平台等媒体矩阵，用户群体涵盖全国 90% 以上的重点中学师生及家长，在全国新高考、自主选拔领域首屈一指。

如需第一时间获取相关资讯及备考指南，请关注**自主选拔在线**官方微信号：**zizzsw**。

